

豊田高専 正会員 志村昌
 豊田高専 正会員 桥井孝昌
 東京大学 正会員 西野文雄

1. まえがき

これまでの研究で初期不整の影響が座屈荷重に与える影響を計算により確かめてきた。初期不整の中でも何形状の不整によって座屈荷重が大きく低下することも確認し、その座屈荷重は、初期不整の存在しないものに比較して1/2~1/4になることもわかつた。今回は、実験によってこれららの計算と比較検討する目的で研究を進めたものである。実験では、初期幾何形状を測定し、これらのデータをもとに数値計算を行った。対象としてドームは、一様な外圧を受ける薄肉の球形ドームであり、周辺は固定である。

2. 計算および実験

対象とする球形ドームの寸法は、Fig. 1 に示す。実験に使用したドームの材質は、アルミニウムであり、そのヤング係数は、材料試験の結果から、 $7.22 \times 10^6 \text{ kg/cm}^2$ 、ポアソン比は、0.33 であった。数値計算は、これらの係数を使用し、全荷重-全変位関係をもとに有限要素法を用いて、逐次代入法により行なつた。計算は、球面の変形が軸対称として球面の 1/4 について、72 個の三角形要素に分割して行なつた。

実験方法は、実験概略図に示すような装置を使用して行なつた。供試体の初期形状の測定は、荷重載荷前に供試体をタンクにセットした状態で三次元測定装置(1,000 mm)を用い、同心円上で 12 点、13 の同心円と頂点を含む 16 点について測定した。初期幾何形状の実測値の処理は、同心円上の 12 点の平均値をその点の高さとした。球形ドームのライスが、10.5 mm、板厚が 1.0 mm に対し、これら同心円の平均三葉誤差は、0.02程度であった。

3. 考察

実験で得られた座屈値 ($\delta = 259.89/\text{cm}^2$)、全球の古典理論による座屈値 ($\delta_{cr} = 257.72/\text{cm}^2$) やより実験で測定した幾何形状にもとづいて計算した座屈値 ($\delta_{ca} = 198.18/\text{cm}^2$) であった。 δ_{cr} に対するそれとの座屈荷重比は、 $\delta/\delta_{cr} = 0.34$ 、 $\delta_{ca}/\delta_{cr} = 0.26$ と従来知られている 1/3 ~ 1/4 程度の座屈比を示している。Fig. 2 は、実測により得られた球面の形状を ●印でプロットしたものである。この図から、ラウン中央部にゆくほど、実測値は、flat になつてゆくことがわかる。供試体は、perfect shell. と思ふ。

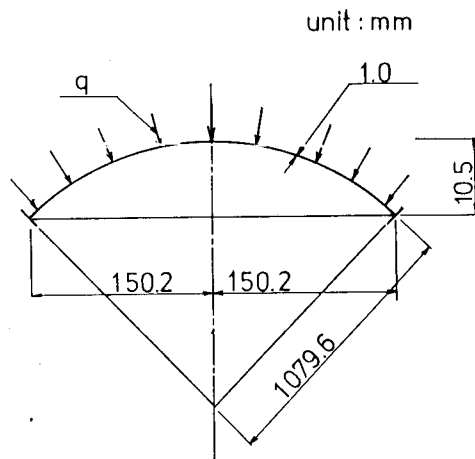
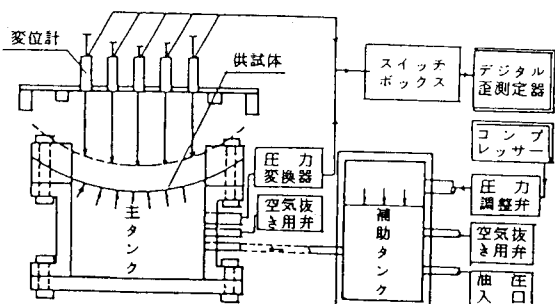


Fig. 1 Spherical Shell



実験概略図

ていたのだが、実際には中央部にひいて、 1.2005mm 程度 perfect shell から偏心していることがわかった。中央部の 1.2005mm の flat 形状が座屈荷重を下げる要因であることがわかる。Fig. 3 は、座屈荷重と初期不整との関係を示したものである。縦軸に計算による座屈値 δ と古典理論による座屈値 δ_{cr} との比をとり、横軸には h/H の比をとっている。初期不整は、クラウン部がフラットになる A タイプとクラウン部の曲率が変化する B タイプの 2 種類をとっている。また、実測結果を▲印でプロットしている。Fig. 2 からもわかるように、初期形状が A タイプのものに類似していることから、A タイプの計算結果とほぼ一致している。Fig. 4 は、座屈形状の変化を示したもので、実験結果、実験にもとづいた計算結果、初期不整がない場合の計算結果を示したものである。実験結果と実測にもとづいた形状で計算した結果との座屈値との差は、完全部分球殼の座屈荷重比 q/q_{cr} が 0.84 に対して約 0.1 程度である。実験結果から、 $q/q_{cr} = 0.34$ となる原因は、初期形状の不整の影響であることが確かめられた。

4. まとめ

(1) 初期幾何形状を測定したところ、球形ドームのライズが 10.5mm 、板厚が 1.0mm に対して同心円上の凸凹度の平均二乗誤差は、 0.02 程度と凸凹度は、小さくと言える。

(2) 試験体中央部での初期不整量(1.2005mm)が座屈荷重を $1/3$ ($q/q_{cr} = 0.34$)程度以下に下げる大きな要因であることが確かめられた。

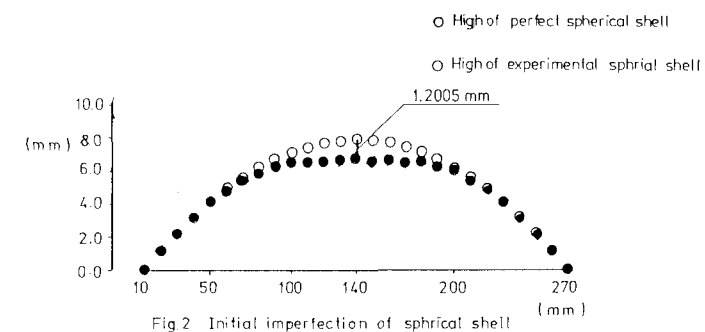


Fig. 2 Initial imperfection of spherical shell

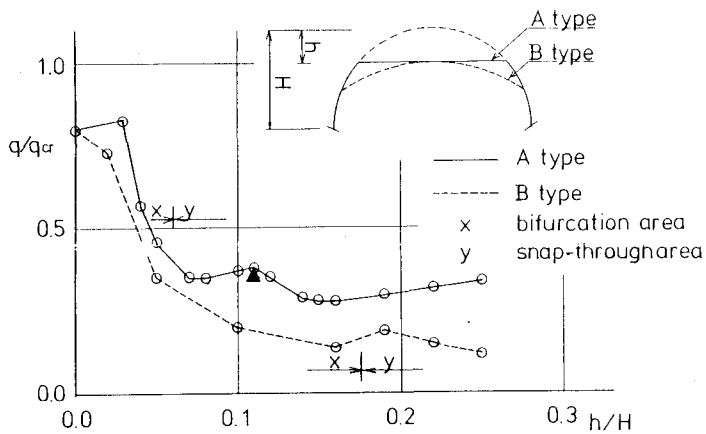


Fig. 3 The relation of buckling pressure to initial imperfection

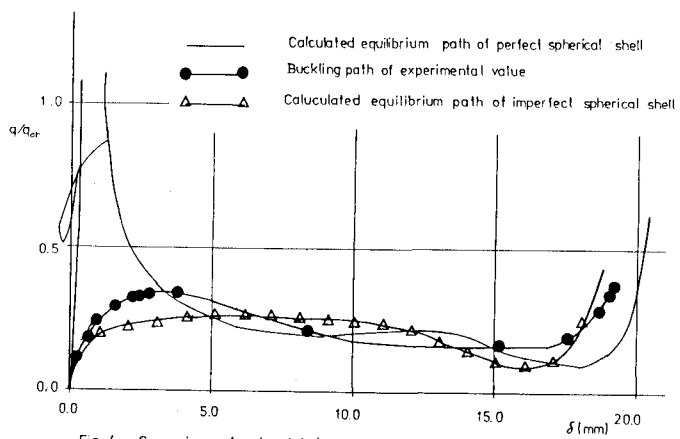


Fig. 4 Comparison of calculated and experimental equilibrium path of spherical shell subjected to uniform pressure